



پایان نامه برای دریافت درجه کارشناسی ارشد در رشته مهندسی مواد گرایش شناسایی و انتخاب مواد

عنوان:

بررسی خواص نیمه‌هادی لایه‌های رویین تشکیل شده روی فولادهای زنگ‌زن

استاد راهنما:

دکتر آرش فتاح الحسینی

نگارش:

امید ایمان طلب

کلیه امتیازهای این پایان‌نامه به دانشگاه بوعلی سینا تعلق دارد. در صورت استفاده از تمام یا بخشی از مطالب این پایان‌نامه در مجلات، کنفرانس‌ها و یا سخنرانی‌ها، باید نام دانشگاه بوعلی سینا یا استاد راهنمای پایان‌نامه و نام دانشجو با ذکر مأخذ و ضمن کسب مجوز کتبی از دفتر تحقیقات تکمیلی دانشگاه ثبت شود. در غیر این صورت مورد پیگرد قانونی قرار خواهد گرفت. درج آدرس‌های ذیل در کلیه مقالات خارجی و داخلی مستخرج از تمام یا بخشی از مطالب این پایان‌نامه در مجلات، کنفرانس‌ها و یا سخنرانی‌ها الزامی می‌باشد.

....., Bu-Ali Sina University, Hamedan, Iran.

مقالات خارجی

.....، گروه، دانشکده، دانشگاه بوعلی سینا، همدان.

مقالات داخلی



دانشگاه بوعلی سینا
مشخصات رساله/پایان نامه تحصیلی

عنوان: بررسی خواص نیمه‌هادی لایه‌های رویین تشکیل شده روی فولادهای زنگنزن

نام نویسنده: امید ایمان طلب

نام استاد راهنما: دکتر آرش فتاح الحسینی

نام استاد/استادی مشاور:

دانشکده : مهندسی

رشته تحصیلی: مهندسی مواد

گروه آموزشی: مهندسی مواد

قطع تحصیلی: کارشناسی و انتخاب مواد

تعداد صفحات: ۱۰۰

تاریخ دفاع: ۱۳۹۱/۱۱/۲۵

تاریخ تصویب: ۱۳۹۱/۴/۱۹

چکیده:

در این تحقیق، رفتار الکتروشیمیایی فولاد زنگنزن ۳۱۶ کم کربن و ۳۲۱ در محلول شبیه‌سازی بتن (۱٪ مولار هیدروکسید سدیم + ۱٪ مولار هیدروکسید پتاسیم) با استفاده از آزمون‌های پلاریزاسیون پتانسیودینامیک، طیفسنجی امپدانس الکتروشیمیایی و موت - شاتکی بررسی شد. برای این منظور، لایه‌های رویین در پتانسیل مدار باز در مدت زمان‌های ۱ تا ۱۲ ساعت تشکیل و سپس آزمون‌های پلاریزاسیون پتانسیودینامیک، طیفسنجی امپدانس الکتروشیمیایی و موت - شاتکی انجام شدند. برای انجام آزمون‌های طیفسنجی امپدانس الکتروشیمیایی، از پتانسیل تحریک ۱۰ میلی ولت و دامنه فرکانسی ۱۰۰ کیلوهرتز تا ۱۰ میلیهرتز استفاده شد. منحنی‌های پلاریزاسیون نشان دادند که فولاد زنگنزن ۳۱۶ کم کربن و ۳۲۱ در محلول شبیه‌سازی بتن رفتار رویین قابل قبولی را ارائه می‌دهد. نتایج آزمون‌های طیفسنجی امپدانس الکتروشیمیایی نشان داد که بهترین مدار معادل دارای دو ثابت زمانی است: ثابت زمانی اول مربوط به فرکانس‌های بالا و میانی، به فرایند انتقال بار مرتبط است در حالی که ثابت زمانی دوم مربوط به فرکانس‌های کم، به فرایندهای ردوكس که در سطح لایه اتفاق می‌افتد، مرتبط می‌شود. همچنین نتایج طیفسنجی امپدانس الکتروشیمیایی آشکار ساخت که با افزایش زمان تشکیل لایه رویین از ۱ به ۱۲ ساعت، مقاومت پلاریزاسیون افزایش می‌یابد که ب بواسطه افزایش ضخامت لایه رویین است. آزمون‌های موت - شاتکی نشان داد که چگالی پذیرنده‌های الکترونی در محدوده ۱×10^{-۳} تا ۳×10^{-۳} بر سانتی‌متر مکعب قرار دارد که با افزایش زمان غوطه‌وری کاهش می‌یابد.

واژه‌های کلیدی: فولاد زنگنزن، پلاریزاسیون پتانسیودینامیک، طیفسنجی امپدانس الکتروشیمیایی، آزمون موت - شاتکی.

۱	فصل اول - مقدمه.....
۲	فصل دوم - مروری بر منابع.....
۳	۲ - ۱- کاربرد فولادها در بتن.....
۴	۲ - ۲- خوردگی فولادها در بتن.....
۵	۱-۲-۲ - مکانیزم حمله کلر به تقویت کننده فولادی.....
۶	۲-۲-۲ مکانیزم حمله دی اکسید کربن به بتن.....
۸	۳-۲-۲ مقدار کل بحرانی برای شروع خوردگی فولاد در بتن.....
۹	۳-۳- روش‌های جلوگیری از خوردگی فولادها در بتن.....
۹	۴-۲ - فولادهای زنگنزن.....
۱۱	۵-۲ - انواع فولادهای زنگنزن.....
۱۳	۶-۲ - شناسایی فولادهای زنگنزن.....
۱۴	۷-۲ - فولادهای زنگنزن آستنیتی سری ۳۰۰.....
۱۸	۸-۲ - خواص مکانیکی میلگردهایی از جنس فولاد زنگنزن.....
۱۹	۹-۲ - قابلیت جوش‌پذیری میلگردهایی از جنس فولاد زنگنزن.....
۱۹	۱۰-۲ - دیگر خواص میلگردهایی از جنس فولاد زنگنزن.....
۲۰	۱۱-۲ - انواع خوردگی فولادهای زنگنزن در بتن.....
۲۰	۱-۱۱-۲ - خوردگی یکنواخت
۲۱	۲-۱۱-۲ - خوردگی بین دانه‌ای
۲۲	۳-۱۱-۲ - خوردگی توام با تنش
۲۲	۴-۱۱-۲ - خوردگی حفره‌ای
۲۳	۱۲-۲ - کاربردهای فولادهای زنگنزن در بتن.....
۲۴	۱۳-۲ - جنبه‌های اقتصادی.....
۲۴	۱۴-۲ - تاریخچه بررسی پدیده رویین شدن.....
۲۵	۱۵-۲ - رویین شدن.....
۲۸	۱۶-۲ - لایه رویین.....
۲۹	۱۷-۲ - مدل‌های ارایه شده برای رویین شدن.....
۲۹	۱-۱۷-۲ - مدل مات - کابررا.....
۳۱	۲-۱۷-۲ - مدل فلترا - مات.....

۳۳.....	۱۷-۲- مدل ساتو- کوهن
۳۵.....	۱۷-۲- مدل عیوب نقطه‌ای
۳۵.....	۱۸-۲- مدل عیوب نقطه‌ای
۴۰.....	۱۹-۲- رفتار الکترونی سطوح فلزات و آلیاژها
۴۵.....	۲۰-۲- تحقیقات بر روی رفتار الکترونی لایه‌های رویین
۴۶.....	۲۱-۲- اهداف پژوهش
۴۷.....	فصل سوم- مواد و روش تحقیق
۴۷.....	۳- ۱- الکترود کار و آماده سازی آن
۴۸.....	۲-۳- سل مورد استفاده
۴۸.....	۳- ۳- آزمون‌های پلاریزاسیون
۴۹.....	۴-۳- آزمون طیف سنجی امپدانس الکتروشیمیایی
۴۹.....	۵-۳- آزمون موت- شاتکی
۵۱.....	فصل چهارم- نتایج و بحث
۵۱.....	۱-۴- مطالعات پتانسیل مدار باز
۵۳.....	۲-۴- مطالعات پلاریزاسیون پتانسیودینامیک
۵۹.....	۳-۴- مطالعات طیف سنجی امپدانس الکتروشیمیایی در پتانسیل مدار باز
۶۴.....	۴-۴- مدل سازی طیف‌های امپدانس
۷۲.....	۵-۴- آزمون‌های موت- شاتکی
۸۱.....	فصل پنجم- نتیجه گیری
۸۳.....	مراجع

فهرست شکل‌ها

عنوان	
شکل	صفحه.....
شکل ۱-۲ - شمایی از فرایند خوردگی فولاد در بتون تحت اثر یون کلر	۵.....
شکل ۲-۲ - نمودار تعادلی آهن - کروم	۱۱.....
شکل ۳-۲ - نمودار تعادلی آهن - نیکل	۱۱.....
شکل ۴-۲ تقسیم بندی فولادهای زنگنزن بر اساس ریزاساختار	۱۲.....
شکل ۵-۲ - شمایی از تقسیم بندی فولادهای زنگنزن با توجه به پایداری فازها	۱۳.....
شکل ۶-۲ - ارتباط بین خواص و ترکیب شیمیایی فولادهای زنگنزن آستنیتی سری ۳۰۰	۱۹.....
شکل ۷-۲ - نمودار نوعی پلاریزاسیون فلزاتی مانند کروم، نیکل، آهن و فلزات والو	۲۷.....
شکل ۸-۲ - منحنی های پلاریزاسیون آهن در محلول های بافری هیدروکسید سدیم / اسید فسفوریک در pH های مختلف	۲۸.....
شکل ۹-۲ - شمایی از تغییرات انرژی برای حرکت کاتیون از طریق لایه رویین با فرض این که وارد شدن کاتیون از فلز به داخل لایه کنترل کننده سرعت است	۳۲.....
شکل ۱۰-۲ - شمایی از مکانیزم تعویض جا برای رشد لایه رویین روی سطح فلز	۳۵.....
شکل ۱۱-۲ - واکنش های تولید و نابودی عیوب سطحی مطابق با مدل عیوب نقطه ای	۳۸.....
شکل ۱۲-۲ - مدل لایه دوگانه الکتریکی سطحی: پتانسیل داخلی، Φ : بار اضافی	۴۲.....
شکل ۱۳-۲ - نمودار موت - شاتکی برای الکترود نوع $n-p$ و نوع $p-n$ فسفاید گالیم در محلول اسید سولفوریک	۴۶.....
شکل ۱-۴ - نمودار تغییرات پتانسیل مدار باز فولاد زنگنزن ۳۱۶ کم کربن در محلول شبیه سازی بتون تا ۱۲ ساعت	۵۲.....
شکل ۲-۴ - نمودار تغییرات پتانسیل مدار باز فولاد زنگنزن ۳۲۱ در محلول شبیه سازی بتون تا ۱۲ ساعت	۵۲.....
شکل ۳-۴ - منحنی پلاریزاسیون پتانسیو دینامیک فولاد زنگنزن ۳۱۶ کم کربن در محلول شبیه سازی بتون بعد از گذشت ۱ ساعت غوطه وری تحت شرایط پتانسیل مدار باز (نرخ رویش برابر ۱ میلی ولت در ثانیه)	۵۳.....
شکل ۴-۴ - منحنی پلاریزاسیون پتانسیو دینامیک فولاد زنگنزن ۳۱۶ کم کربن در محلول شبیه سازی بتون بعد از گذشت ۳ ساعت غوطه وری تحت شرایط پتانسیل مدار باز (نرخ رویش برابر ۱ میلی ولت در ثانیه)	۵۴.....
شکل ۵-۴ - منحنی پلاریزاسیون پتانسیو دینامیک فولاد زنگنزن ۳۱۶ کم کربن در محلول شبیه سازی بتون بعد از گذشت ۶ ساعت غوطه وری تحت شرایط پتانسیل مدار باز (نرخ رویش برابر ۱ میلی ولت در ثانیه)	۵۴.....

- شکل ۶-۴- منحنی پلاریزاسیون پتانسیودینامیک فولاد زنگنزن ۳۱۶ کم کربن در محلول شبیه‌سازی بتن بعد از گذشت ۱۲ ساعت غوطه‌وری تحت شرایط پتانسیل مدار باز (نرخ روبش برابر ۱ میلی‌ولت در ثانیه)..... ۵۵
- شکل ۷-۴- منحنی پلاریزاسیون پتانسیودینامیک فولاد زنگنزن ۳۲۱ در محلول شبیه‌سازی بتن بعد از گذشت ۱ ساعت غوطه‌وری تحت شرایط پتانسیل مدار باز (نرخ روبش برابر ۱ میلی‌ولت در ثانیه)..... ۵۶
- شکل ۸-۴- منحنی پلاریزاسیون پتانسیودینامیک فولاد زنگنزن ۳۲۱ در محلول شبیه‌سازی بتن بعد از گذشت ۳ ساعت غوطه‌وری تحت شرایط پتانسیل مدار باز (نرخ روبش برابر ۱ میلی‌ولت در ثانیه)..... ۵۷
- شکل ۹-۴- منحنی پلاریزاسیون پتانسیودینامیک فولاد زنگنزن ۳۲۱ در محلول شبیه‌سازی بتن بعد از گذشت ۶ ساعت غوطه‌وری تحت شرایط پتانسیل مدار باز (نرخ روبش برابر ۱ میلی‌ولت در ثانیه)..... ۵۷
- شکل ۱۰-۴- منحنی پلاریزاسیون پتانسیودینامیک فولاد زنگنزن ۳۲۱ در محلول شبیه‌سازی بتن بعد از گذشت ۱۲ ساعت غوطه‌وری تحت شرایط پتانسیل مدار باز (نرخ روبش برابر ۱ میلی‌ولت در ثانیه)..... ۵۸
- شکل ۱۱-۴- منحنی نایکویست فولاد زنگنزن ۳۱۶ کم کربن در محلول شبیه‌سازی بتن بعد از گذشت ۱ ساعت غوطه‌وری تحت شرایط پتانسیل مدار باز..... ۵۹
- شکل ۱۲-۴- منحنی نایکویست فولاد زنگنزن ۳۱۶ کم کربن در محلول شبیه‌سازی بتن بعد از گذشت ۳ ساعت غوطه‌وری تحت شرایط پتانسیل مدار باز..... ۶۰
- شکل ۱۳-۴- منحنی نایکویست فولاد زنگنزن ۳۱۶ کم کربن در محلول شبیه‌سازی بتن بعد از گذشت ۶ ساعت غوطه‌وری تحت شرایط پتانسیل مدار باز..... ۶۰
- شکل ۱۴-۴- منحنی نایکویست فولاد زنگنزن ۳۱۶ کم کربن در محلول شبیه‌سازی بتن بعد از گذشت ۱۲ ساعت غوطه‌وری تحت شرایط پتانسیل مدار باز..... ۶۱
- شکل ۱۵-۴- منحنی‌های نایکویست فولاد زنگنزن ۳۲۱ در محلول شبیه‌سازی بتن بعد از گذشت ۱ ساعت غوطه‌وری تحت شرایط پتانسیل مدار باز..... ۶۲
- شکل ۱۶-۴- منحنی‌های نایکویست فولاد زنگنزن ۳۲۱ در محلول شبیه‌سازی بتن بعد از گذشت ۳ ساعت غوطه‌وری تحت شرایط پتانسیل مدار باز..... ۶۲
- شکل ۱۷-۴- منحنی‌های نایکویست فولاد زنگنزن ۳۲۱ در محلول شبیه‌سازی بتن بعد از گذشت ۶ ساعت غوطه‌وری تحت شرایط پتانسیل مدار باز..... ۶۳
- شکل ۱۸-۴- منحنی‌های نایکویست فولاد زنگنزن ۳۲۱ در محلول شبیه‌سازی بتن بعد از گذشت ۱۲ ساعت غوطه‌وری تحت شرایط پتانسیل مدار باز..... ۶۳
- شکل ۱۹-۴- مدار معادل رندلس برای مدل‌سازی لایه رویین تشکیل شده روی فولادهای زنگنزن..... ۶۴

شکل ۴-۲۰-۴ - دومین مدار معادل برای مدل‌سازی لایه رویین تشکیل شده روی فولادهای زنگنزن.....	۶۴
شکل ۴-۲۱-۴ - منحنی نایکویست و مدل‌سازی شده با استفاده از مدار معادل شکل ۴-۲۰ برای فولاد زنگنزن ۳۱۶ کم کربن در محلول شبیه‌سازی بتن بعد از ۶ ساعت غوطه‌وری تحت شرایط پتانسیل مدار باز.....	۶۶
شکل ۴-۲۲-۴ - منحنی نایکویست و مدل‌سازی شده با استفاده از مدار معادل شکل ۴-۲۰ برای فولاد زنگنزن ۳۲۱ در محلول شبیه‌سازی بتن بعد از ۶ ساعت غوطه‌وری تحت شرایط پتانسیل مدار باز.....	۶۸
شکل ۴-۲۳-۴ - سومین مدار معادل برای مدل‌سازی لایه رویین تشکیل شده روی فولادهای زنگنزن.....	۶۷
شکل ۴-۲۴-۴ - منحنی نایکویست و مدل‌سازی شده با استفاده از مدار معادل شکل ۴-۲۳ برای فولاد زنگنزن ۳۱۶ کم کربن در محلول شبیه‌سازی بتن بعد از ۶ ساعت غوطه‌وری تحت شرایط پتانسیل مدار باز.....	۶۷
شکل ۴-۲۵-۴ - منحنی نایکویست و مدل‌سازی شده با استفاده از مدار معادل شکل ۴-۲۳ برای فولاد زنگنزن ۳۲۱ در محلول شبیه‌سازی بتن بعد از ۶ ساعت غوطه‌وری تحت شرایط پتانسیل مدار باز.....	۶۸
شکل ۴-۲۶-۴ - چهارمین مدار معادل برای مدل‌سازی لایه رویین تشکیل شده روی فولادهای زنگنزن.....	۶۹
شکل ۴-۲۷-۴ - منحنی نایکویست و مدل‌سازی شده با استفاده از مدار معادل شکل ۴-۲۶ برای فولاد زنگنزن ۳۱۶ کم کربن در محلول شبیه‌سازی بتن بعد از ۱، ۳، ۶ و ۱۲ ساعت غوطه‌وری تحت شرایط پتانسیل مدار باز.....	۷۰
شکل ۴-۲۸-۴ - منحنی نایکویست و مدل‌سازی شده با استفاده از مدار معادل شکل ۴-۲۶ برای فولاد زنگنزن ۳۲۱ در محلول شبیه‌سازی بتن بعد از ۱، ۳، ۶ و ۱۲ ساعت غوطه‌وری تحت شرایط پتانسیل مدار باز.....	۷۰
شکل ۴-۲۹-۴ - تاثیر زمان تشکیل لایه رویین بر مقاومت پلاریزاسیون فولاد زنگنزن ۳۱۶ کم کربن و ۳۲۱ در محلول شبیه‌سازی بتن بعد از ۱، ۳، ۶ و ۱۲ ساعت غوطه‌وری تحت شرایط پتانسیل مدار باز.....	۷۲
شکل ۴-۳۰-۴ - منحنی موت- شاتکی لایه رویین تشکیل شده روی فولاد زنگنزن ۳۱۶ کم کربن در محلول شبیه‌سازی بتن بعد از ۱ ساعت غوطه‌وری تحت شرایط پتانسیل مدار باز.....	۷۳
شکل ۴-۳۱-۴ - منحنی موت- شاتکی لایه رویین تشکیل شده روی فولاد زنگنزن ۳۱۶ کم کربن در محلول شبیه‌سازی بتن بعد از ۳ ساعت غوطه‌وری تحت شرایط پتانسیل مدار باز.....	۷۳

- شکل ۳۲-۴- منحنی موت- شاتکی لایه رویین تشکیل شده روی فولاد زنگنزن ۳۱۶ کم کرbin در محلول شبیهسازی بتن بعد از ۶ ساعت غوطهوری تحت شرایط پتانسیل مدار باز..... ۷۴
- شکل ۳۳-۴- منحنی موت- شاتکی لایه رویین تشکیل شده روی فولاد زنگنزن ۳۱۶ کم کرbin در محلول شبیهسازی بتن بعد از ۱۲ ساعت غوطهوری تحت شرایط پتانسیل مدار باز..... ۷۴
- شکل ۳۴-۴- مقادیر چگالی پذیرنده‌های الکترونی محاسبه شده برای فولاد زنگنزن ۳۱۶ کم کرbin در محلول شبیهسازی بتن..... ۷۵
- شکل ۳۵-۴- منحنی موت- شاتکی لایه رویین تشکیل شده روی فولاد زنگنزن ۳۲۱ در محلول شبیهسازی بتن بعد از ۱ ساعت غوطهوری تحت شرایط پتانسیل مدار باز..... ۷۶
- شکل ۳۶-۴- منحنی موت- شاتکی لایه رویین تشکیل شده روی فولاد زنگنزن ۳۲۱ در محلول شبیهسازی بتن بعد از ۳ ساعت غوطهوری تحت شرایط پتانسیل مدار باز..... ۷۶
- شکل ۳۷-۴- منحنی موت- شاتکی لایه رویین تشکیل شده روی فولاد زنگنزن ۳۲۱ در محلول شبیهسازی بتن بعد از ۶ ساعت غوطهوری تحت شرایط پتانسیل مدار باز..... ۷۷
- شکل ۳۸-۴- منحنی موت- شاتکی لایه رویین تشکیل شده روی فولاد زنگنزن ۳۲۱ در محلول شبیهسازی بتن بعد از ۱۲ ساعت غوطهوری تحت شرایط پتانسیل مدار باز..... ۷۷
- شکل ۳۹-۴- مقادیر چگالی پذیرنده‌های الکترونی محاسبه شده برای لایه رویین فولاد زنگنزن ۳۲۱ در محلول شبیهسازی بتن..... ۷۸

فصل اول

مقدمه

در بین انواع فولادهای زنگنزن، فولادهای زنگنزن آستنیتی متداول‌ترین نوع هستند. این نوع فولادهای زنگنزن به‌طور کلی غیرمغناطیسی بوده و قابلیت سخت‌شدن به‌وسیله عملیات حرارتی را ندارند. استحکام این نوع فولادها را مانند فولادهای فریتی تنها با کار سرد می‌توان افزایش داد. به‌طور کلی، کروم عنصر آلیاژی اصلی در فولادهای زنگنزن است و فولاد با ایستی حداقل ۱۱ تا ۱۲ درصد کروم داشته باشد. کروم عنصر فعالی است ولی این عنصر و آلیاژهای آن در بسیاری از محیط‌ها غیرفعال شده و مقاومت عالی از نظر خوردگی از خود نشان می‌دهند. در فولادهای زنگنزن آستنیتی کروم- نیکل‌دار، عنصر نیکل به عنوان عامل اصلی پایدار کننده آستنیت است [۱ و ۲].

فولادهای زنگنزن آستنیتی کروم- نیکل دار دارای مقاومت بهتری نسبت به انواع بدون نیکل هستند و بهطور معمول دارای بالاترین مقاومت خوردگی نسبت به گروههای دیگر می‌باشند. بهمین دلیل این فولادها بهطور وسیعی برای شرایط حادتر خوردگی به کار برد ه می‌شوند. در میان فولادهای زنگنزن آستنیتی انواع ۳۰۴، ۳۱۶ کم کربن، ۳۱۶ کم کربن و ۳۲۱ به عنوان آلیاژ همه‌فن حریف^۱ برای صنایع شیمیایی هستند و باید توجه داشت که انواع مولیبدن دار مانند ۳۱۶ کم کربن و ۳۲۱ در بسیاری از کاربردها بهتر از ۳۰۴ و ۳۰۴ کم کربن رفتار می‌کنند [۲].

به دلیل اهمیت پدیده رویین شدن^۲ و لایه رویین^۳ تشکیل شده در انواع فولادهای زنگنزن در برابر خوردگی، در سال‌های اخیر تلاش‌های گسترده‌ای برای روشن کردن مکانیزم‌های رشد لایه‌های رویین و رفتار الکتروشیمیایی آن‌ها انجام شده است. همچنین با این‌که رویین شدن نرخ خوردگی فولادهای زنگنزن را بسیار کاهش می‌دهد ولی نمی‌تواند از خوردگی کامل جلوگیری کند زیرا سطوح رویین شده مستعد به انواع خوردگی موضعی هستند.

هدف از این تحقیق مطالعه رفتار الکتروشیمیایی فولاد زنگنزن ۳۱۶ کم کربن و ۳۲۱ در محلول شبیه‌سازی بتن ($1/0$ مولار هیدروکسید سدیم + $1/0$ مولار هیدروکسید پتاسیم) در پتانسیل مدار باز با انجام آزمون‌های آزمون‌های پلاریزاسیون پتانسیودینامیک^۴، طیفسنجی امپدانس الکتروشیمیایی^۵ و موت-شاتکی^۶ است. در این رابطه از مدل‌سازی رفتار لایه رویین و فصل مشترک‌ها با مدار معادل الکتریکی و تاثیر زمان تشکیل لایه بر المان‌های مدار معادل استفاده شد.

این پایان‌نامه شامل پنج فصل است که فصل اول به مقدمه اختصاص داده شده است. در فصل دوم ضمن بررسی بتن و ماهیت آن، کاربرد فولادها و خوردگی آن‌ها نیز بررسی شده است. سپس فولادهای زنگنزن و پدیده رویین شدن، تحقیقات انجام شده در این زمینه و مدل‌های ارایه شده جمع‌آوری شده است. همچنین به علت اهمیت آزمون‌های موت-شاتکی، توضیحات مختصراً در مورد این روش نیز ارایه شده است. در فصل سوم به روش انجام تحقیق و جزئیات آزمایش‌های مختلف پرداخته شده است. در فصل چهارم نتایج حاصل از آزمون‌های پلاریزاسیون پتانسیودینامیک، طیفسنجی امپدانس الکتروشیمیایی و موت-شاتکی و تحلیل آن‌ها ارایه شده است. و در نهایت در فصل پنجم نتیجه‌گیری بیان شده است.

¹ Workhorse

² Passivity

³ Passive Film

⁴ Potentiodynamic Polarization

⁵ Electrochemical Impedance Spectroscopy (EIS)

⁶ Mott-Schottky

فصل دوم

مروجی بر منابع

۱-۲- کاربرد فولادها در بتن

طی دهه‌های اخیر خوردگی میلگرد در بتن مسلح، یکی از مهم‌ترین عوامل کاهش دهنده عمر سازه‌های مذکور بوده است. در واقع بهدلیل مقاومت کششی اندک بتن، لازم است که آن را به طریقی در برابر بارگذاری کششی تقویت نمود. استفاده از میلگردهای فولادی راه حلی است که طی سالیان متعدد برای رفع این مشکل به کار رفته است.

pH محیط بتن تازه بهدلیل وجود مقادیر بسیاری از هیدروکسید کلسیم و مقادیر به نسبت کمتری از عناصر قلیایی مانند سدیم و پتاسیم بین ۱۲ تا ۱۳ می‌باشد. وجود این محیط قلیایی باعث ایجاد یک لایه نازک اکسید روی سطح میلگرد می‌شود. این لایه در محیط بهشت قلیایی بتن تازه پایدار بوده و میلگرد را در برابر خوردگی محافظت می‌کند [۳-۵].

اگر pH محیط بیشتر از ۱۰ باشد، میلگرد از لحاظ شیمیایی غیرفعال مانده و در معرض خوردگی قرار نمی‌گیرد. مشکل اساسی زمانی آغاز می‌شود که pH محیط کاهش یابد یعنی قلیایی بودن بتن از بین رود. کاهش pH محیط می‌تواند به دلایل متفاوتی صورت پذیرد که مهم‌ترین دلیل تحقق این امر مربوط به نفوذ یک سری عناصر شیمیایی خاص به داخل بتن است. در این میان، موارد زیر دارای بیشترین اهمیت هستند [۵-۳]:

۱- دی اکسید کربن موجود در اتمسفر

۲- دی اکسید گوگرد موجود در محیط‌های صنعتی

۳- یون‌های کلر موجود در محیط‌های دریایی

۴- املاح نمک (که به طور معمول در اثر یخ‌زدایی جاده‌ها و پل‌ها روی سازه‌های بتنی انباشته می‌شود) ورود هر یک از عوامل فوق به داخل بتن باعث انجام واکنش شیمیایی و کاهش pH بتن می‌شود. در اغلب موارد این عوامل از حفره‌های موجود در سطح بتن وارد ساختار سازه می‌شوند.

در محیط‌هایی که امکان ورود چنین عواملی وجود دارد، غلظت آن‌ها افزایش یافته و در نهایت به آستانه‌ای می‌رسد که لایه محافظ تخریب می‌شود و در نتیجه فولاد شروع به خوردگی شدن می‌کند. شواهدی حاکی از این امر وجود دارد که آستانه خوردگی در بتن به نوع سیمان مصرف شده و ترکیبات آن بستگی دارد. علاوه بر این، نوع ماده خورنده غالب نیز به جغرافیای محل استفاده بتن بستگی دارد. خوردگی باعث کاهش سطح مقطع مفید میلگرد شده و می‌تواند ناپیوستگی‌های مقطوعی ایجاد کرده و مقاومت کششی و مقاومت در برابر تنש‌های خستگی را کاهش دهد. در سازه‌های بتن مسلح، در اثر خوردگی میلگرد اضافه حجمی تا چند برابر حجم فولاد اولیه ایجاد می‌شود. تنش‌های ناشی از نیروهای مولکولی حاصل از این اضافه حجم منجر به ترک خوردگی و در نهایت تخریب کامل سازه بتنی می‌شود. ترک‌های ایجاد شده راه را برای نفوذ آب، اکسیژن و یون‌های کلر باز می‌نمایند و این باعث تسريع در خوردگی می‌شود. بنابراین محصولات خوردگی بیشتری تشکیل شده و تنش‌های بیشتری به وجود می‌آید. تنش‌های بیشتر باعث ایجاد ترک‌های بیشتر می‌شود. چرخه به وجود آمده تا جایی که فاجعه تخریب بتن به طور کامل اتفاق افتد، ادامه پیدا می‌کند.

۲-۲- خوردگی فولادها در بتن

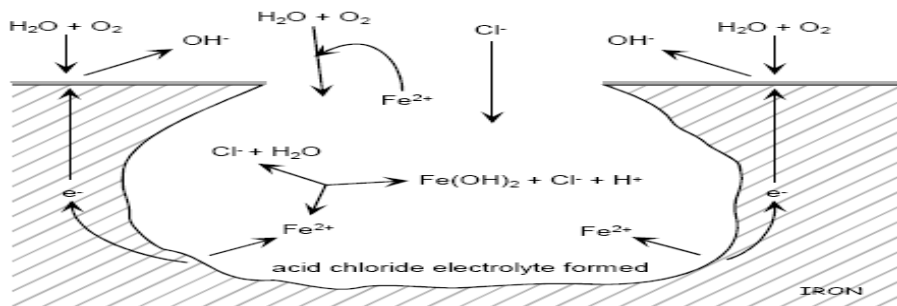
به طور کلی خوردگی شامل واکنش‌های آندی و کاتدی است و برای وقوع آن، هدایت کننده الکتریکی (میلگرد) و الکتروولیت (رطوبت) لازم است. آند و کاتد در بتن تقویت شده می‌تواند در یک میلگرد یا در دو میلگرد مجزا باشد. رطوبت بتن یک مسیر الکتروولیتی را برای انتقال الکترون از آند به کاتد فراهم می‌آورد. میلگرد هدایت کننده الکتریکی است که سل خوردگی را تکمیل می‌کند. خوردگی فولاد مسلح کننده در محیط قلیایی بتن شامل واکنش‌های آندی و کاتدی است که منجر به ایجاد حالت مقاوم در میلگرد

می‌شود. واکنش آندی شامل اکسید شدن آهن و تولید اکسید فرو (واکنش ۱-۲) یا اکسید فریک (واکنش ۲-۲) است و واکنش کاتدی شامل احیا شدن اکسیژن (واکنش ۳-۲) می‌باشد که در نتیجه آن یون هیدروکسیل تولید می‌شود [۶].



۱-۲-۱- مکانیزم حمله کلر به تقویت کننده فولادی

در شکل ۱-۲-۱ شماتیک از فرایند خوردگی فولاد در حضور یون کلر در بتن نشان داده شده است [۷ و ۸].



شکل ۱-۲-۱- شماتیک از فرایند خوردگی فولاد در بتن تحت اثر یون کلر [۷ و ۸].

سه نظریه درباره تاثیر یون کلر روی تقویت کننده فولادی وجود دارد [۸]:

(الف) نظریه لایه اکسید: این نظریه بیان گر این مطلب است که لایه پایدار اکسید در حفاظت تقویت کننده در برابر خوردگی نقش دارد و فرض می‌کند که یون‌های کلر نسبت به یون‌های دیگر مثل سولفات راحت‌تر در این لایه نفوذ می‌کنند. در نتیجه یون‌های کلر ممکن است موجب کلوئیدی شدن لایه اکسید و پراکنده شدن آن شوند و در نتیجه خوردگی راحت‌تر رخ می‌دهد.

(ب) نظریه جذب: بر اساس این نظریه یون‌های کلر در رقابت با اکسیژن محلول و یون‌های هیدروکسیل روی میلگرد جذب می‌شوند و هیدراتاسیون یون‌های آهن را گسترش می‌دهند، بنابراین خوردگی تقویت کننده را تسهیل می‌کنند.

(ج) نظریه کمپلکس ناپایدار: بر پایه این نظریه یون‌های کلر با جایگزینی به جای یون‌های هیدروکسیل در تشکیل لایه مقاوم شرکت می‌کنند، که در نتیجه آن هدایت‌پذیری و حلایت افزایش

یافته و بنابراین لایه مقاوم خاصیت حفاظتی خود را از دست می‌دهد که مطابق با واکنش‌ها ۴-۲ و ۵-۲ است [۸]:



که در آن x از ۲ تا ۳ می‌باشد (بر پایه حالت اکسیداسیون آهن). مصرف یون‌های کلر در معادله ۴-۲ با معادله ۵-۲ و با آزاد کردن یون‌های کلر به تعادل می‌رسد. حضور یون‌های کلر موجب تسريع در از بین رفتن لایه اکسید آهن پایدار می‌شوند و این زنجیره واکنش‌ها بهدلیل حلایت FeCl_x همچنان ادامه پیدا می‌کند. تولید بسیار زیاد آن موجب افزایش از بین رفتن لایه اکسید مقاوم می‌شود. توزیع غیریکنواخت یون‌های کلر در سطح تقویت کننده و ضعف لایه اکسید آهن پایدار موجب می‌شود تا کلر بتواند به راحتی این لایه را به صورت موضعی از بین برده و خوردگی را تسريع نماید [۸].

آنده، ناحیه‌ای است که در آن آهن می‌تواند به آسانی در یک پتانسیل به نسبت کم در الکتروولیت حل شود. ناحیه غیرفعال باقی‌مانده به عنوان کاتد عمل می‌کند که در آن احیای اکسیژن در پتانسیل بالاتر رخ می‌دهد. افزایش حجم اکسیدهای آهن هنگامی که به اکسید بالاتر تبدیل می‌شوند، مهم‌ترین عامل ترک خوردگی بتن است. حجم اکسیدهای آهن هیدراته شده می‌تواند از شش تا هفت برابر بزرگ‌تر از آهن در شرایط عادی باشد [۸].

یون کلر در داخل بتن پس از نفوذ به دو صورت کلر آزاد و یا کلر پیوندی می‌تواند وجود داشته باشد. کلر آزاد در آب حفره‌ای بتن محلول می‌ماند. در حالی‌که کلر پیوندی می‌تواند به دو صورت فیزیکی و شیمیایی با دیگر ذرات داخل بتن پیوند داشته باشد [۹].

۲-۲-۲- مکانیزم حمله دی اکسید کربن به بتن

کربناتاسیون به خنثی شدن یا کاهش قلیاییت بتن در نتیجه واکنش با دی اکسید کربن، گفته می‌شود. در این عمل گاز دی اکسید کربن موجود در هوا یا محلول در آب (اسید کربنیک) با هیدروکسید کلسیم خمیر سیمان واکنش داده و تولید کربنات کلسیم می‌نماید. عمق کربناتاسیون در بتن با کیفیت مناسب پس از چندین سال بیش از $1/25$ میلی‌متر نمی‌باشد. با این وجود در بتن‌های با کیفیت کم و متخلخل، کربناتاسیون می‌تواند موجب خوردگی میلگرد شده و در نتیجه به ترک خوردگی و پوسته شدن بتن بیانجامد. عوامل متعددی بر آهنگ کربناتاسیون موثر می‌باشند که عبارتند از: حجم حفره‌ها، مقاومت بتن، در معرض رطوبت بودن یا سیکل‌های متناوب تر و خشک شدن و اختلاف دمایی دو طرف بتن. به طور معمول زمانی که کربناتاسیون اصلی‌ترین عامل تخریب باشد، به طور متناوب رسوبات سفید رنگی در اطراف سنگ‌دانه‌ها و در سطوح داخلی ترک‌ها مشاهده می‌شود. فعل و انفعالات مهم شیمیایی مربوط به کربناتاسیون مطابق با واکنش‌های ۶-۲ و ۷-۲ می‌باشد [۱۰]:



مقدار دی اکسید کربن مورد نیاز به منظور کاهش pH بتن به مقدار محصولات قلیایی هیدراتاسیون

یعنی به موارد ذیل بستگی دارد [۱۱]:

- ترکیبات سیمان (نوع سیمان)

- مقدار سیمان در هر متر مکعب بتن

مقدار دی اکسید کربنی که در واحد زمان به داخل بتن نفوذ می‌کند، بستگی به نفوذپذیری بتن

نسبت به گاز دی اکسید کربن دارد که به چهار عامل اصلی زیر بستگی دارد [۱۱]:

۱- ترکیب بتن

۲- تراکم بتن

۳- شرایط عمل آوری بتن

۴- شرایط محیطی بتن

در شرایطی که رطوبت نسبی محیط ثابت باشد، می‌توان آهنگ کربناتاسیون را با میزان رطوبت محیط مرتبط کرد. عمق کربناتاسیون در سازه‌هایی که در معرض تر و خشک شدن متناوب هستند، ممکن است کمتر باشد [۱۲].

در بتن‌هایی که مصالح آن آلوده به یون کلر می‌باشند، کربناتاسیون باعث کاهش pH محیط و انحلال فازهای جامد حاوی یون کلر مقید در محلول حفره‌ای و در نتیجه آزاد شدن کلر و ایجاد کلر آزاد می‌شود. کلر آزاد شده می‌تواند وارد قسمت‌های کربناته نشده بتن شود که این پدیده موجب افزایش میزان کلر آزاد در ضخامت پوشش بتنی روی تقویت کننده شده و ممکن است کلر را در سطح میلگرد به مقدار بحرانی برساند. بنابراین سازه‌های حاوی یون کلر که کربناتاسیون در آن‌ها رخداده است، نسبت به سازه‌هایی که فقط از یک معرض رنج می‌برند، بیشتر در معرض خوردگی قرار دارند [۷ و ۱۳].

بونفلد^۱ و گلاس^۲ نیز در تحقیقات خود به این نتیجه رسیده‌اند که کلر پیوندی می‌تواند در شروع خوردگی نقش ایفا کند. به طوری که قسمت بیشتر کلر پیوندی با کاهش pH به مقدار کمتر از ۱۲ آزاد می‌شود [۷ و ۱۳].

۳-۲-۲- مقدار کلر بحرانی برای شروع خوردگی فولاد در بتن

کلر بحرانی دارای تعاریف مختلفی است که چگونگی از بین رفتن حالت مقاوم فولاد در بتن را شرح می‌دهد. برخی از محققین بر این عقیده‌اند که حالت مقاوم زمانی از بین می‌رود که تغییر در پتانسیل

¹Buenfeld

²Glass

میلگرد رخ دهد [۱۴]. برخی دیگر مشاهده ظاهری را به کار برد و بر این عقیده‌اند که حالت مقاوم زمانی از بین می‌رود که لکه‌های خوردگی بر روی میلگرد ظاهر شود. سرانجام، دیگر محققین رسیدن جربان خوردگی به مقداری مشخص را نشانه از بین رفتن لایه مقاوم فرض می‌کنند [۱۵-۱۷]. عوامل زیادی، از جمله موارد زیر، مقدار کلر بحرانی را تحت تاثیر قرار می‌دهد [۷]:

افزودنی‌های شیمیایی و معدنی، میزان رطوبت موجود (باتوجه به محل قرارگیری)، شرایط اتمسفری (دما و مقدار رطوبت هوا)، pH محلول حفره‌ای، میزان اکسیژن، نوع کاتیون‌های همراه کلر، شرایط سطحی، ترکیبات میلگرد و ریز ساختار آن. تمامی عوامل مذکور بر رفتار لایه پایدار و غیرفعال ایجاد شده بر روی فولاد موثر بوده و در واقع پتانسیل الکتریکی میلگرد را تعیین می‌نماید [۱۸].

تلفیقی از عوامل موثر باعث می‌شود تا یک مقدار ثابت برای کلر بحرانی وجود نداشته و کلر بحرانی تابعی از مشخصه‌های اجزای بتن و شرایط محیطی اطراف آن باشد. عامل اصلی قلیاییت بتن، حضور یون‌های هیدروکسیل است که موجب حفظ و گسترش لایه مقاوم روی تقویت کننده می‌شود. اثر مثبت یون‌های هیدروکسیل باید همراه با اثر منفی یون‌های کلر روی لایه مقاوم دیده شود. بنابراین به جای در نظر گرفتن مقدار یون‌های کلر یا یون‌های هیدروکسیل به عنوان معیاری برای از بین رفتن لایه مقاوم، نسبت یون کلر به هیدروکسیل در نظر گرفته می‌شود [۱۹].

کاهش نسبت آب به سیمان موجب افزایش مقدار کلر محیط می‌شود [۷] در حالی که وجود حفره‌های هوای تصادفی در سطح مشترک فولاد و بتن موجب کاهش مقدار کلر بحرانی می‌شود، چون مقدار هیدروکسید کلسیم و در نتیجه مقدار pH در این مناطق کمتر است. تجربه‌ها و آزمایش‌ها نشان می‌دهد که با کاهش مقدار حفرات هوای تصادفی در سطح مشترک فولاد و بتن از ۱/۵ درصد به ۰/۲ درصد حجمی بتن، مقدار کلر بحرانی از ۰/۲ درصد به ۲ درصد وزنی سیمان افزایش می‌یابد [۲۰ و ۲۱].

مطالعات نشان داده‌اند که شرایط سطحی میلگرد روی مقدار کلر بحرانی بسیار تاثیرگذار بوده و در برخی از انواع میلگردها (ASTM A605) وجود پوسته ناشی از نورد گرم موجب بهبود شرایط سطحی و افزایش مقدار کلر بحرانی می‌شود، در حالی که در برخی دیگر از میلگردها (ASTM A706) حذف پوسته ناشی از نورد گرم موجب می‌شود تا مقدار کلر بحرانی افزایش یابد [۱۸]. همچنین در صورت وجود لایه‌های اکسید روی میلگرد قبل از قرار گرفتن در بتن مقدار کلر بحرانی افزایش می‌یابد [۲۱]. میزان کلر بحرانی یکی از عوامل مورد نیاز برای پیش‌بینی طول عمر سرویس‌دهی سازه‌های بتنی است.

۳-۲- روش‌های جلوگیری از خوردگی فولادها در بتن

همان‌طور که گفته شد، فولاد موجود در بتن، به‌طور معمول توسط رویین شدن ناشی از محلول نفوذی به‌شدت قلیایی بتن، در برابر خوردگی محافظت می‌شود. لایه اکسیدی پایدار، روی سطح فولاد

تشکیل شده و از انحلال آندی آهن جلوگیری می‌کند. از بین رفتن دوام بتن، تنها هنگامی اتفاق می‌افتد که لایه اکسیدی پایدار، به سبب وارد شدن یون کلر در فصل مشترک بتن و فولاد یا کربناتاسیون بتن که کاهنده شدت قلیایی محلول نفوذی در چسب سیمان سخت شده در اطراف فولاد است، غیرپایدار (از بین رفتن لایه رویین) شود. بنابراین برای دوام بتن مسلح، باید طراحی مقاومت در برابر کربن و حذف یون کلر از هر منبع صورت گیرد. میلگرد فولادی باید در بتن مشخص شده مطابق با استانداردهای کنونی تعبیه شود. چگونگی اختلاط و حداقل پوشش باید بهطور ویژه مورد توجه قرار گیرد و برای خوردگی محیط مناسب باشد. با این حال شواهد قابل توجهی وجود دارد که برخی از شرایط برآورده نشده و موجب نابودی فولاد و بتن به سبب طراحی نامناسب یا کاربرد در مکان غیرصحيح شده است. یکسری شرایط محیطی وجود دارند که بدون اقدامات حفاظت در برابر خوردگی، تعیین عمر طراحی را مشکل می‌سازد. در این میان عوامل زیر می‌توانند مشکلات را افزایش دهند [۲۲]:

- ساختار در معرض غلظت بالایی از یون کلر قرار گیرد مانند سازه‌های دریایی
- پوشش بتن و کیفیت بتن نامناسب باشد
- طراحی بتن‌های سبک وزن متراکم و غیرمتراکم برای رسیدن به عایق حرارتی کم وزن
- ساختارهایی که بهشدت محدود شده مانند سازه‌های زیر زمینی مدفون در خاک.

در چنین مواردی، ممکن است طراحان برای کاهش نفوذپذیری، بهسازی مخلوط بتن را در نظر گیرند. بهعلاوه اقدامات حفاظت از خوردگی، از قبیل پوشش‌دهی و عملیات سطحی، ورود کلر به بتن را محدود می‌کند. استفاده از بتن‌های ضد آب و استفاده از مواد محافظت شده از خوردگی و موادی که مقاومت به خوردگی بیشتری برای بتن مسلح دارند (بهطور مثال گالوانیزه کردن فولاد یا فولاد زنگنزن)، استفاده از ممانعت کننده‌ها برای سالم نگهداشتن بتن و حفاظت کاتدی بهوسیله تاثیر جریان ممکن است هر کدام یک روش موثر و اقتصادی باشند [۲۳-۲۱].

۴-۲- فولادهای زنگنزن

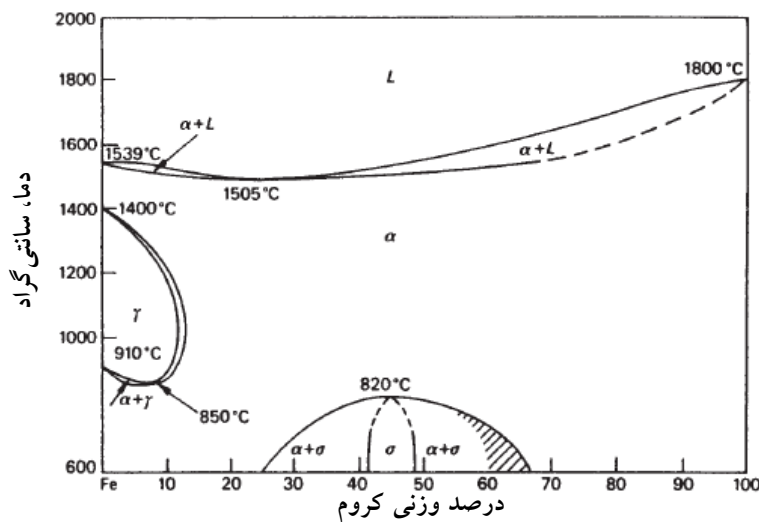
دلیل اصلی وجود فولادهای زنگنزن که در حدود یک قرن پیش توسط مونارتز^۱ اختراع شدند، مقاومت بالای آن‌ها در برابر خوردگی است. تحقیقات نشان می‌دهد که امروزه استفاده از این فولادها بهطور متوسط در حدود ۵ درصد در سال رشد دارد [۲۴].

فولادهای زنگنزن کمتر از ۲ درصد مقدار کلی فولاد تولیدی در ایالات متحده است، اما بهدلیل این که از این نوع فولادها برای تجهیزات مقاوم به خوردگی در بیشتر صنایع، بهخصوص در صنایع شیمیایی، نفت، گاز و پتروشیمی استفاده می‌شود، اهمیت اقتصادی و فناوری زیادی دارند [۲۴].

¹ Monnartz

فولادهای زنگنزن، آلیاژهای آهن شامل حداقل ۱۱ درصد کروم به صورت محلول جامد هستند. این مقدار از کروم، از تشکیل اکسید آهن در اتمسفرهای معمول جلوگیری می‌کند. مقاومت به خوردگی این فولادها با یک لایه سطحی بسیار نازک فراهم می‌شود که در بیشتر محیط‌ها خود ترمیم کننده است. در برخی فولادهای زنگنزن، میزان کروم به ۳۰ درصد وزنی نیز می‌رسد و تعداد دیگری عناصر آلیاژی برای ایجاد خواص ویژه یا راحتی تولید اضافه می‌شوند. برای مثال عناصر نیکل، نیتروژن و مولیبدن برای بهبود مقاومت به خوردگی، عناصر کربن، مولیبدن، نیتروژن، تیتانیم، آلومینیم و مس برای افزایش استحکام، عناصر گوگرد و سلنیم برای قابلیت ماشین‌کاری و در نهایت نیکل برای قابلیت شکل‌پذیری و چرمنگی اضافه می‌شوند [۲۴].

همان‌طور که در شکل ۲-۲ نشان داده شده است، کروم پایدار کننده فاز فریت (یا شبکه مکعبی مرکزدار) است و با افزایش مقدار کروم، نواحی پایداری فریت دلتا^۱ و فریت آلفا^۲ گسترش می‌یابند و ناحیه پایداری آستانیت محدود می‌شود [۲۴].



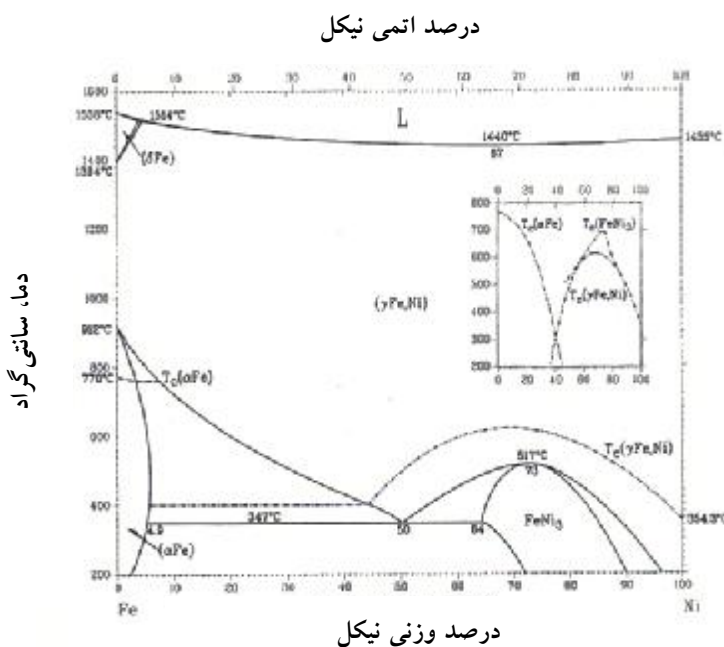
شکل ۲-۲- نمودار تعادلی آهن- کروم [۲۴].

نیکل عنصر آلیاژی دیگری است که پس از کروم بیشترین اثر را روی برخی فولادهای زنگنزن دارد. افزودن نیکل به آهن، موجب پایداری آهن با شبکه بلوری مکعب با وجوده مرکزدار می‌شود. با توجه به

^۱ Delta Ferrite

^۲ Alpha Ferrite

نمودار تعادلی آهن- نیکل در شکل ۳-۲، با وجود مقدار کافی نیکل، آستنیت در تمام دماهای بالاتر از دمای اتاق پایدار است [۲۴].



شکل ۳-۲- نمودار تعادلی آهن- نیکل [۲۴].

در آلیاژهای دوتایی آهن- نیکل، به منظور پایداری کامل آستنیت، در حدود ۳۰ درصد نیکل لازم است. علت این امر نفوذ آهسته آهن و نیکل در دمای اتاق است که امکان تشکیل مخلوطی از آستنیت و فریت را نمی‌دهد. با این حال، اگر کروم در حد مورد نیاز برای تشکیل فولاد زنگنزن وجود داشته باشد، مقدار به مراتب کمتری نیکل برای پایداری آستنیت نیاز است [۲۴].

۴-۵- انواع فولادهای زنگنزن

امروزه بیش از ۱۸۰ نوع فولاد زنگنزن وجود دارد و هر ساله انواع جدیدتر تولید می‌شوند. همان‌طور که در شکل ۴-۲ نشان داده شده است فولادهای زنگنزن بر اساس ریزساختار به چهار دسته اصلی آستنیتی^۱، فریتی^۲، دوفازی^۳ (آستنیتی- فریتی) و مارتزیتی^۱ تقسیم می‌شوند که در این میان، فولادهای زنگنزن آستنیتی متداول‌ترین نوع هستند [۲۴].

¹ Austenitic

² Ferritic

³ Duplex